

## PALEOBATIMETRIA DA MARGEM CONTINENTAL DO BRASIL DURANTE O ALBIANO

EDUARDO A.M. KOUTSOUKOS\* e DIMAS DIAS-BRITO\*

**ABSTRACT** Paleobathymetric estimations obtained from paleoecological researches carried out in various Brazilian marginal basins reveal that during the Albian all this portion of the South Proto-Atlantic was practically on the same paleogeographic setting, where the sediment accumulation took place in a neritic environment. During the Early-Middle Albian, extensive and thick carbonate deposits were formed in very shallow to middle neritic environments (0-50 m of water-depth), corresponding to the first pre-oceanic marine deposition over the spreading South Atlantic. The Late Albian shows a change in the oceanographic and depositional conditions, with an increase of the sea-level to a deep neritic environment (100-200 m). The comparison of the paleoecological results from the Brazilian margin with those coming from other areas of the South Atlantic suggests that during the Albian this ocean was a narrow and shallow epicontinental sea.

**INTRODUÇÃO** Os estudos paleoecológicos realizados no Centro de Pesquisas da Petrobrás, com base em foraminíferos e a partir de centenas de poços perfurados ao longo da extensa margem atlântica brasileira, revelam que as condições paleoceanográficas durante o Albian foram relativamente uniformes e generalizadas. Considerando-se, por outro lado, os dados e as interpretações disponíveis na literatura, chega-se à conclusão de que esta uniformidade não se restringiu somente à margem brasileira, mas a todo o Atlântico Sul albian. Este trabalho objetiva a apresentação deste conjunto de evidências, mostrando as peculiaridades paleobatimétricas e oceanográficas desta fase primeva do Atlântico Sul.

**ESTUDOS ANTERIORES** Entre os trabalhos de paleoecologia que fornecem dados paleobatimétricos concernentes à fase albian da margem atlântica brasileira, citam-se: Beurlen (1982), Dias-Brito (1982, 1985a, 1985b, 1987), Koutsoukos (1982, 1984, 1987), Viviers (1982, 1985, 1987), Viviers & Regali (1987), Azevedo (1983), Estrella *et al.* (1984) e Azevedo *et al.* (1987).

**O ALBIANO NA MARGEM ATLÂNTICA BRASILEIRA** Os depósitos albianos na margem continental do Brasil constituem o registro da fase inicial do Atlântico Sul nesta área. Assentam-se, em grande parte, sobre camadas salíferas (margem leste) e constituem, neste segmento, espessos pacotes carbonáticos. Na margem equatorial, as acumulações albianas variaram sua natureza litológica, oscilando entre carbonatos e terrígenos (Fig. 1).

A análise detalhada de sua paleofauna e paleoflora revela que situações fisiográficas especiais, combinadas com baixos valores batimétricos e relativa estabilidade tectônica, devem ter ocorrido neste tempo e, como resultado, dando origem a um longo e estreito mar epicontinental. Um esquema geral dos ambientes ao longo do Albian, construído com base

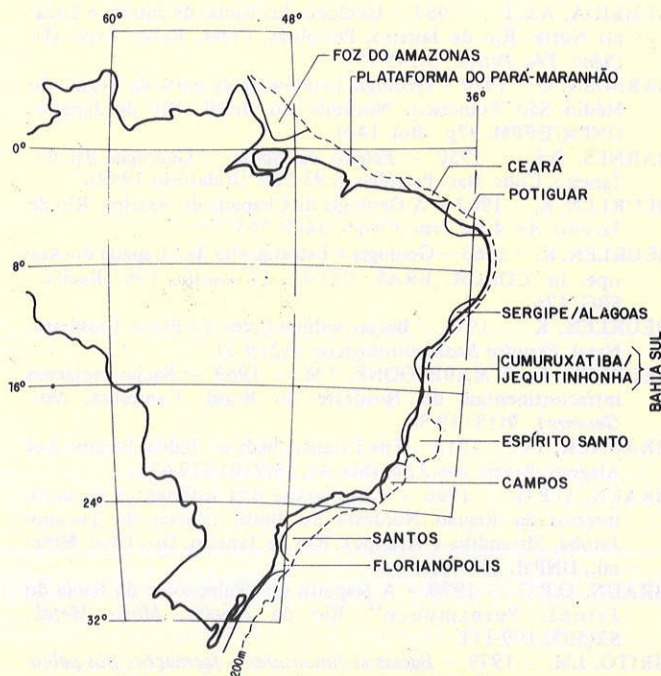


Figura 1 – Mapa de situação das principais bacias marginais brasileiras consideradas neste trabalho (adaptação de Ojeda 1982)

nos dados paleobatimétricos fornecidos por estudos de foraminíferos, é apresentado na figura 2. A relação e a caracterização das principais assembléias de foraminíferos e de alguns outros grupos orgânicos, bem como sua distribuição paleoambiental (relação microfósseis/habitat), são resumidas nos quadros de 1 a 7.

De uma maneira geral, o detalhamento biocronoestratigráfico permite a individualização de duas fases distintas na seqüência albian: eo-mesoalbiania e neoalbiania.

\* Centro de Pesquisas da Petrobrás (Cenpes), Setor de Bioestratigrafia e Paleoecologia. Cidade Universitária, Quadra 7, Prédio 20, Ilha do Fundão, CEP 21910, Rio de Janeiro, RJ, Brasil

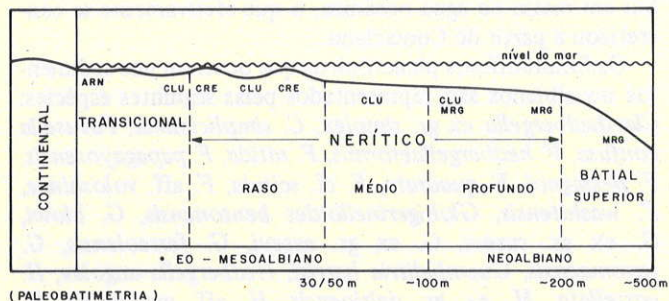


Figura 2 – Modelo esquemático hipotético dos ambientes marinhos do Albiano da margem continental brasileira (CRE = calcarenito; CLU = calcilutito; MRG = marga; ARN = arenito)

Quadro 1 – Assembléias microfossilíferas das Bacias de Florianópolis e Santos

PALEOAMBIENTE DEPOSIONAL	ASSEMBLÉIAS DE MICROFÓSSEIS
--------------------------	-----------------------------

NEOALBIANO (CRE, CLU, MRG)	
TRANSICIONAL	<ul style="list-style-type: none"> <li>Microgastrópodes e espinhos de equinóides</li> </ul>
NERÍTICO RASO	<ul style="list-style-type: none"> <li><i>Epistomina</i> sp., <i>Lenticulina</i> sp. e <i>Textularia</i> sp.</li> </ul>
NERÍTICO PROFUNDO	<ul style="list-style-type: none"> <li><i>Hedbergella</i> spp. e <i>Ticinella</i> spp.</li> <li><i>Anomalina</i> sp., <i>Dorothia filiformis</i>, <i>D. ex gr. oxyconca</i>, <i>Gaudryina</i> sp., <i>Gavelinella</i> ex gr. <i>intermedia</i>, <i>Globorotalites michelianus</i>, <i>Gyroidinoides</i> spp., <i>Haplophragmoides</i> sp., <i>Lenticulina</i> spp., <i>Lingulogavelinella</i> sp., <i>Osangularia</i> sp., <i>Ramulina</i> sp., <i>Saccammina</i> sp., <i>Spirillina</i> sp., <i>Textularia</i> sp. e <i>Vermiculinoidea</i> sp.</li> <li>Radiolários (A), microgastrópodes e espinhos de equinóides</li> </ul>

EO-MESOALBIANO (CRE, CLU)	
TRANSICIONAL CONTINENTAL	<ul style="list-style-type: none"> <li>Oogônias de algas caróticas e ostracodes.</li> </ul>
NERÍTICO RASO	<ul style="list-style-type: none"> <li><i>Favusella</i> spp.</li> <li><i>Epistomina</i> sp.</li> <li>Microgastrópodes, micropelecípodes, ostracodes e espinhos de equinóides</li> </ul>
NERÍTICO RASO / MÉDIO	<ul style="list-style-type: none"> <li><i>Favusella</i> spp. (F) e <i>Hedbergella</i> spp. (F/A)</li> <li><i>Dorothia</i> ex gr. <i>oxyconca</i>, <i>Gavelinella</i> ex gr. <i>intermedia</i> e <i>Lenticulina</i> spp.</li> <li>Ostracodes (<i>Conchoecia</i> sp.), radiolários (R), microgastrópodes e espinhos de equinóides.</li> </ul>

#### LEGENDA

R = RARO      A = ABUNDANTE      MRG = MARGA  
 C = COMUM      CRE = CALCARENITO      ARN = ARENITO  
 F = FREQUENTE    CLU = CALCILUTITO      FLH = FOLHELHO

**A fase eo-mesoalbiana** Representando os primeiros momentos da fase pré-oceânica, que se prolongou pelo tempo Cenomaniano-Turoniano, esses sedimentos são constituídos, predominantemente, por calcarenitos/calcilutitos. Nas áreas proximais, têm-se fácies mistas de carbonatos e terrígenos. Em todas as bacias estudadas, o conteúdo microfossilífero claramente aponta para condições de mar tropical, restrito e raso (valores paleobatimétricos entre 0 e 50 m), com anomalia no piso marinho. Esta anomalia, evidenciada pela monotonia, baixa diversidade e baixa freqüência faunística de fundo, tem sido interpretada como resultante de hipersalinidade nas águas do estreito mar epicontinental (Dias-Brito 1982). Os quadros mencionados exibem as assembléias microfossilíferas que caracterizam a paleobatimetria desta fase. Entre os foraminíferos planctônicos, citam-se: *Favusella* spp., *Globigerinelloides barri*, *G. ex gr. caseyi*, *G. gyroidinaeformis*, *Hedbergella ex gr. delrioensis*, *H. aff. gorbachikae*, *H. heterbacheri*, *H. aff. maslakovae*, *H. aff. trocoides*, *Heterohelix moremani*, *Ticinella bejaouensis*, *T. aff. primula*, *T. roberti*, *Whiteinella* spp., entre os calcisferulídios são constatadas as espécies *Pythonella sphaerica* (freqüente) e *Pythonella ovalis* (ocorrência esporádica).

tricos entre 0 e 50 m), com anomalia no piso marinho. Esta anomalia, evidenciada pela monotonia, baixa diversidade e baixa freqüência faunística de fundo, tem sido interpretada como resultante de hipersalinidade nas águas do estreito mar epicontinental (Dias-Brito 1982). Os quadros mencionados exibem as assembléias microfossilíferas que caracterizam a paleobatimetria desta fase. Entre os foraminíferos planctônicos, citam-se: *Favusella* spp., *Globigerinelloides barri*, *G. ex gr. caseyi*, *G. gyroidinaeformis*, *Hedbergella ex gr. delrioensis*, *H. aff. gorbachikae*, *H. heterbacheri*, *H. aff. maslakovae*, *H. aff. trocoides*, *Heterohelix moremani*, *Ticinella bejaouensis*, *T. aff. primula*, *T. roberti*, *Whiteinella* spp., entre os calcisferulídios são constatadas as espécies *Pythonella sphaerica* (freqüente) e *Pythonella ovalis* (ocorrência esporádica).

**A fase neoalbiana** Os sedimentos neoalbianos, em geral, têm caráter pelítico (calcilutitos e margas), revelando que as condições paleobatimétricas se alteraram em relação à fase anterior. O aumento na espessura na lâmina de água do mar albiano é registrado praticamente em todas as bacias, o que é constatado consistentemente pela análise da paleobiota. Verifica-se um incremento na freqüência e

Quadro 2 – Assembléias microfossilíferas da Bacia de Campos; Porção Centro-oriental

PALEOAMBIENTE DEPOSIONAL	ASSEMBLÉIAS DE MICROFÓSSEIS
--------------------------	-----------------------------

VRACONIANO (CLU, MRG)	
NERÍTICO PROFUNDO	<ul style="list-style-type: none"> <li><i>Clavihedbergella</i> sp., <i>Globigerinelloides</i> spp., <i>Hedbergella</i> spp., <i>Praeglobotruncana</i> sp., <i>Ticinella</i> spp. e <i>Whiteinella</i> spp.</li> </ul>
NERÍTICO PROFUNDO / BATIAL SUPERIOR	<ul style="list-style-type: none"> <li><i>Anomalinoides</i> sp., <i>Astacolus</i> sp., <i>Conorboides</i> sp., <i>Dentalina</i> sp., <i>Dorothia levius</i>, <i>D. ex gr. oxyconca</i>, <i>Fondicularia</i> sp., <i>Gavelinella</i> ex gr. <i>intermedia</i>, <i>Globorotalites michelianus</i>, <i>Gyroidinoides</i> spp., <i>Lagena apiculata</i>, <i>Lingulogavelinella</i> sp., <i>Lenticulina</i> spp., <i>Nodosaria</i> sp., <i>Osangularia utaturensis</i>, <i>Pleurostromella obtusa</i>, <i>Ramulina</i> sp., <i>Reussella</i> sp., <i>Saracenaria</i> sp. e <i>Textularia</i> sp.</li> <li>Radiolários</li> </ul>
NERÍTICO PROFUNDO / BATIAL SUPERIOR	<ul style="list-style-type: none"> <li><i>Hedbergella</i> spp., <i>Praeglobotruncana</i> sp. e <i>Rotalipora</i> sp. (F)</li> <li>Associação bentônica similar à anterior</li> </ul>

NEOALBIANO (CLU, MRG)	
NERÍTICO RASO	<ul style="list-style-type: none"> <li><i>Favusella</i> spp. e <i>Hedbergella</i> spp. (formas pequenas)</li> </ul>
NERÍTICO MÉDIO / PROFUNDO	<ul style="list-style-type: none"> <li><i>Clavihedbergella</i> sp., <i>Favusella</i> spp., <i>Globigerinelloides</i> spp., <i>Hedbergella</i> spp., <i>Shackinoa</i> sp., <i>Ticinella</i> spp. e <i>Whiteinella</i> spp.</li> <li><i>Anomalinoides</i> sp., <i>Astacolus</i> sp., <i>Clavulina gabonica</i>, <i>Conorboides</i> sp., <i>Dentalina</i> sp., <i>Dorothia bulletta</i>, <i>D. levius</i>, <i>D. ex gr. oxyconca</i>, <i>Gaudryina</i> sp., <i>Gavelinella</i> ex gr. <i>intermedia</i>, <i>Globorotalites michelianus</i>, <i>Guttulina</i> sp., <i>Gyroidinoides</i> sp., <i>Lagena apiculata</i>, <i>Lingulogavelinella</i> sp., <i>Lenticulina gaultina</i>, <i>Neobuliminia</i> sp., <i>Nodosaria</i> sp., <i>Osangularia utaturensis</i>, <i>Patellinella</i> sp., <i>Planulina</i> sp., <i>Pleurostromella obtusa</i>, <i>Reussella</i> sp., <i>Saracenaria</i> spp., <i>Spirillina</i> sp., <i>Tribrahia</i> sp. e <i>Turrispirilina</i> sp.</li> <li>Radiolários (R/C)</li> </ul>

**Quadro 3 – Assembléias microfossilíferas da Bacia de Campos; A. Porção Centro-Oriental (cont.) e B. Porção Noroeste**

PALEOAMBIENTE DEPOSIONAL		ASSEMBLÉIAS DE MICROFÓSSEIS
<b>A.</b>		
<b>EO-MESOALBIANO (CRE, CLU)</b>		
NERÍTICO RASO		<ul style="list-style-type: none"> <li>• Favusella spp. e Hedbergella spp.</li> <li>• Níveis só de favuselídeos</li> <li>• Lenticulina spp. e Trocholina sp.</li> <li>• Calciferulídeos (<i>Pithonella ovalis</i> e. <i>P. sphaerica</i>), ostracodes (<i>Conchoecia</i> sp.), micromoluscos e espinhos de equinóides</li> </ul>
NERÍTICO RASO / MÉDIO		<ul style="list-style-type: none"> <li>• Coskinolinoídes? <i>texanus</i> e <i>Gavelinella</i> ex gr. <i>intermedia</i></li> <li>• Ostracodes, espinhos de equinóides e oólitos/oncólitos</li> </ul>
NERÍTICO MÉDIO / NERÍTICO PROFUNDO		<ul style="list-style-type: none"> <li>• Hedbergella spp. e <i>Ticinella</i> spp.</li> <li>• Conorboides sp., <i>Dorothia levis</i>, <i>Gaudryina</i> aff. <i>quadrata</i>, <i>Gavelinella</i> ex gr. <i>intermedia</i>, <i>Lenticulina</i> spp. e <i>Verneuilina</i> sp.</li> <li>• Ostracodes</li> <li>• Globigerinelloides spp., <i>Hedbergella</i> spp. e <i>Ticinella</i> spp.</li> <li>• Anomalina indica, <i>Ceratolamarckina</i> sp., <i>Cibicides</i> sp., <i>Conorboides</i> sp., <i>Dorothia levis</i>, <i>D. ex gr. oxycona</i>, <i>Fondicularia</i> sp., <i>Gaudryina</i> aff. <i>quadrata</i>, <i>Gavelinella</i> ex gr. <i>intermedia</i> (R/F), <i>Globorotalites</i> sp., <i>Cyroidinoides</i> spp. (C/F), <i>Lenticulina</i> spp. (C/A), <i>Lingulogavelinella</i> sp., <i>Marginulina</i> sp., <i>Neobulimina</i> sp., <i>Nodosaria</i> sp., <i>Nonion</i> sp., <i>Osangularia utahensis</i>, <i>Pleurostomella</i> sp., <i>Praebulimina</i> sp., <i>Quadriflorina</i> sp., <i>Quinqueloculina</i> sp., <i>Textularia</i> sp., <i>Trochammina</i> sp. e <i>Valvulinaria</i> sp.</li> <li>• Ostracodes (<i>Sergipella</i> aff. <i>transatlantica</i> -C), microgastrópodes e radiolários</li> </ul>
NEOALBIANO (CLU, MRG)		

diversidade de foraminíferos bentônicos e planctônicos, de calciferulídeos e na presença de nanofóssil calcário. Tal alteração biótica em relação à fase anterior é interpretada por Dias-Brito (1983a, b) como sendo derivada de uma elevação do nível marinho e do aumento no grau de contato entre os oceanos Atlântico Sul e Atlântico Norte, já iniciado na fase eo-mesoalbiana. Os valores paleobatimétricos de então estiveram em torno de 100 a 200 m e os maiores índices foram alcançados no Neoalbiano Terminal (Vraconiano). Em certas bacias, nesta faixa de tempo, é possível que determinadas áreas tivessem uma paleobatimetria um pouco mais profunda, já que são encontradas algumas espécies de foraminíferos quinhados (*Rotalipora appenninica*, *R. ticinensis*, *Praeglobotruncana delrioensis*), que usualmente habitaram níveis pelágicos abaixo de 200 m (Hart & Bailey 1979, Hart 1980). É importante frisar que, ao longo de todo o Albiano, exceto na mencionada porção terminal de algumas áreas, somente ocorrem planctônicos globigeriniformes, que foram habitantes de domínios epipelágicos e colonizadores de mares epicontinentais (Douglas & Rankin 1969, Frerichs 1971, Sliter 1972 a, 1972 b, Frerichs 1975, Petters 1978, Douglas & Savin 1978). A presença dos referidos quinhados em algumas áreas do Atlântico Sul, já no Albiano Terminal, poderia sugerir que neste tempo se tenha iniciado a transformação do mar epicontinental Atlântico

Sul em massa de água oceânica, o que efetivamente se concretizou a partir do Coniaciano.

Os foraminíferos planctônicos que ocorrem nos sedimentos neoalbianos são representados pelas seguintes espécies: *Clavihedbergella* ex gr. *simplex*, *C. simplicissima*, *Favusella confusa*, *F. hedbergellaeformis*, *F. nitida*, *F. papagayosensis*, *F. pessagnoi*, *F. quadrata*, *F. cf. scitula*, *F. aff. voloshinae*, *F. washitensis*, *Globigerinelloides bentonensis*, *G. blowi*, *G. ex gr. caseyi*, *G. ex gr. caseyi*, *G. ferreolensis*, *G. texomaensis*, *Guembelitria harrisi*, *Hedbergella angolae*, *H. costellata*, *H. ex gr. delrioensis*, *H. aff. gargasiana*, *H. gorbachikae*, *H. planispira*, *H. cf. robesae*, *H. trocoidea*, *Heterohelix moremani*, *Praeglobotruncana delrioensis*, *Shackinoa* sp., *Ticinella breggensis*, *T. cf. caronae*, *T. aff. digitalis*, *T. floresae*, *T. madecassiana*, *T. petalloidea*, *T. praeticinensis*, *T. primula*, *T. ex gr. raynaudi*, *T. roberti* e *Whiteinella bornholmensis*. As freqüentes formas bentônicas são mostradas nos quadros de 1 a 7.

A evolução paleobatimétrica da margem atlântica brasileira durante o Albiano é esquematizada na figura 3. A quebra batimétrica sugerida para o limite eo-mesoalbiano-neoalbiano pode indicar um rápido incremento na lâmina de água do domínio nerítico ou ser indício de um hiato não-mensurável em termos de resolução biocronoestratigráfica.

**Quadro 4 – Assembléias microfossilíferas: A. Bacia de Campos, Porção Noroeste (cont.) e B. Bacia do Espírito Santo**

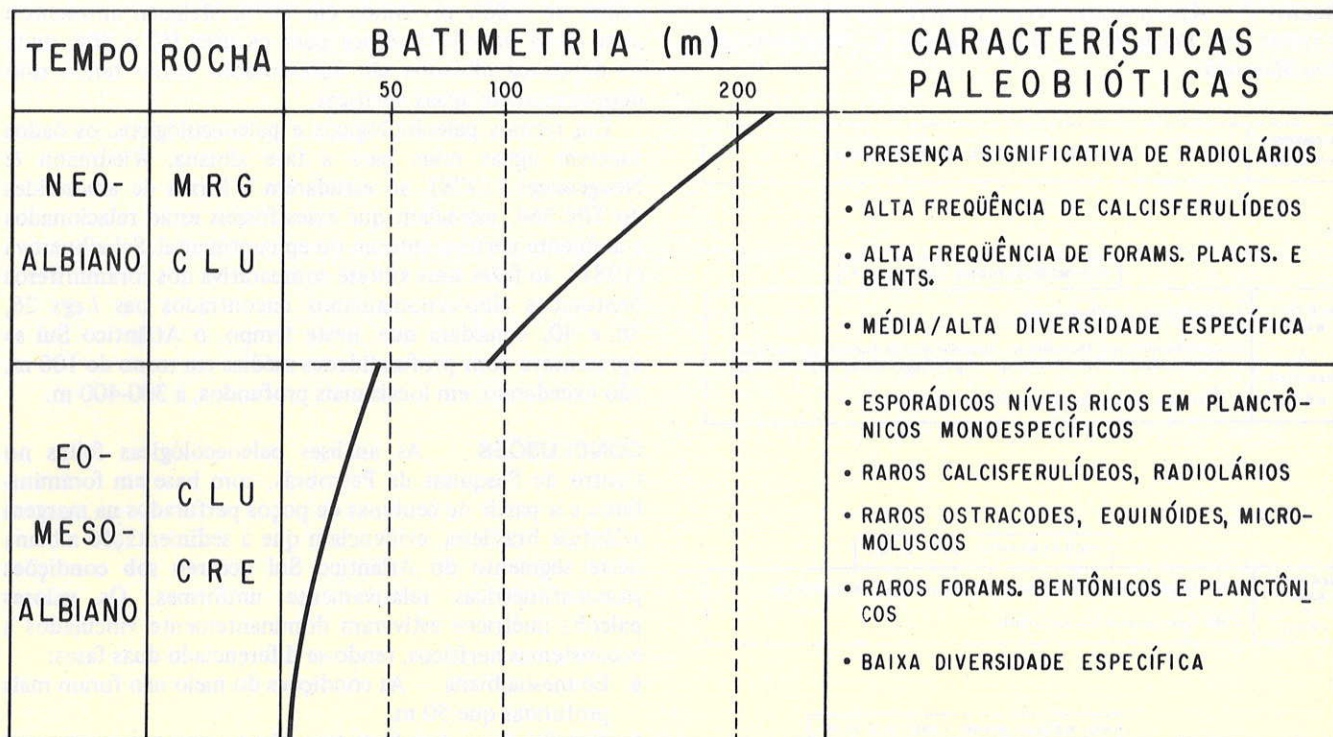
PALEOAMBIENTE DEPOSIONAL		ASSEMBLÉIAS DE MICROFÓSSEIS
--------------------------	--	-----------------------------

**A.**

TRANSICIONAL		<b>EO-MESOALBIANO (ARN, CRE, CLU)</b>
NERÍTICO RASO		<ul style="list-style-type: none"> <li>• <i>Haplophragmium?</i> sp. e <i>Haplophragmoides?</i> sp.</li> <li>• Oogônias de algas carótitas e megásporos carbonizados</li> </ul>
NERÍTICO RASO / NERÍTICO MÉDIO		<ul style="list-style-type: none"> <li>• Favusella spp. e Hedbergella spp.</li> <li>• Anomalina indica, Dorothia levis Gavelinella ex gr. <i>intermedia</i>, Lenticulina spp. e Trocholina sp.</li> <li>• Acicularia (Dasycladaceae) sp. e oólitos/oncólitos</li> </ul>

**B.**

NERÍTICO RASO		<b>NEOALBIANO (CRE, CLU, MRG)</b>
NERÍTICO MÉDIO / NERÍTICO PROFUNDO		<ul style="list-style-type: none"> <li>• Favusella spp. e Guembelitria sp.</li> <li>• Cibicides sp., Gavelinella ex gr. <i>intermedia</i>, Gyroidinoides spp. e Valvulinaria sp.</li> <li>• Oólitos/oncólitos (A)</li> </ul>
NERÍTICO MÉDIO / NERÍTICO PROFUNDO		<ul style="list-style-type: none"> <li>• Clavihedbergella sp., Favusella spp., Globigerinelloides spp., Hedbergella spp., Praeglobotruncana sp. e Ticinella spp.</li> <li>• Gavelinella ex gr. <i>intermedia</i>, Globorotalites sp., Lenticulina spp. e Osangularia sp.</li> </ul>



*Figura 3 – Evolução paleobatimétrica generalizada da margem atlântica brasileira durante o Albiano*

*Quadro 5 – Assembléias microfossilíferas: A. Bacia de Cumuruxatiba/Jequitinhonha (Bahia Sul); B. Bacia de Sergipe/Alagoas*

PALEOAMBIENTE DEPOSIACIONAL	ASSEMBLÉIAS DE MICROFÓSSEIS
A.	<div style="text-align: center; border: 1px solid black; padding: 5px;"> <b>ALBIANO (CRE, CLU)</b> </div>
<b>NERÍTICO</b>  <b>RASO</b>	<ul style="list-style-type: none"> <li>• <i>Favusella</i> spp. e <i>Hedbergella</i> spp.</li> <li>• Óolitos/oncólitos (A)</li> </ul>

**B.** Indicate all expenses incurred in maintaining  
the building or structure in good working order  
and repair costs. **NEGAL PIANO (CHL-MPC)**

NEALBIANO (CLD, MRG)	
NERÍTICO MÉDIO	<ul style="list-style-type: none"> <li><i>Clavihedbergella</i> sp., <i>Favusella</i> spp., <i>Globigerinelloides</i> spp., <i>Hedbergella</i> spp., <i>Heterohelix</i> sp. e <i>Ticinella</i> spp.</li> </ul>
/	
NERÍTICO PROFUNDO	<ul style="list-style-type: none"> <li><i>Dorothia</i> ex gr. <i>oxyconca</i>, <i>Epistomina</i> sp., <i>Gavelinella</i> ex gr. <i>intermedia</i>, <i>Globorotalites</i> sp., <i>Gyroidinoides</i> spp., <i>Lenticulina</i> spp. e <i>Osangularia</i> sp.</li> <li><i>Microgastropôdes</i> e <i>micropelecíopodes</i></li> </ul>

**EO - MESOALBIANO (CRE, CLU)**

*Quadro 6 – Assembléias microfossilíferas: A. Bacia Potiguar; B. Bacia do Ceará*

PALACIO DEPOSIACIONAL	ASSEMBLÉIAS DE MICROFÓSSEIS
A.	<b>EO - MESOALBIANO ( CLU, MRG )</b>
<b>NERÍTICO RASO</b>	<ul style="list-style-type: none"> <li>• <i>Favusella</i> spp.</li> <li>• Nodosarídeos e textularídeos</li> <li>• Ostracodes (<i>Aracajuia benderi</i>), calcisferulídeos (<i>Pithonella sphaerica</i>) e microgastrópodes</li> </ul>
B.	<b>VRACONIANO ( CLU, MRG )</b>
<b>NERÍTICO PROFUNDO</b>  <i>/</i> <b>BATIAL SUPERIOR</b>	<ul style="list-style-type: none"> <li>• <i>Hedbergella</i> spp., <i>Heterohelix</i> sp., <i>Praeglobotruncana</i> sp., <i>Schackoina</i> sp. e <i>Rotalipora</i> sp. (C/F)</li> <li>• <i>Anomalinoides</i> sp., <i>Dentalina</i> sp., <i>Dorothia</i> sp., <i>Gaudryina</i> sp., <i>Globorotalites</i> sp., <i>Gyroidina</i> spp., <i>Lenticulina</i> spp., <i>Lingulogavelinella</i> sp., <i>Pleurostomella</i> sp., <i>Praebuliminia</i> sp., <i>Ramulina</i> sp., <i>Spiroplectammina</i> sp. e <i>Valvulinaria</i> sp.</li> <li>• Radiolários</li> </ul>

		NEOALBIANO ( CRE, CLU, MRG )
NERÍTICO RASO / MÉDIO		<ul style="list-style-type: none"> <li>• <i>Favusella</i> spp. e <i>Hedbergella</i> spp.</li> <li>• <i>Ammobaculites</i> sp., <i>Heplophragmoides</i> sp., <i>Reophax</i> sp., <i>Trochammina</i> sp. e <i>Verneulinooides</i> sp.</li> </ul>
NERÍTICO MÉDIO / PROFUNDO		<ul style="list-style-type: none"> <li>• <i>Globigerinelloides</i> spp., <i>Hedbergella</i> spp., <i>Praeglobotruncana</i> sp., <i>Ticinella</i> spp. e <i>Whiteinella</i> spp.</li> </ul>

**Quadro 7 – Assembléias microfossilíferas: A. Bacia do Ceará (cont.); B. Bacia da Foz do Amazonas; C. Plataforma do Pará-Maranhão**

PALEOAMBIENTE DEPOSIACIONAL		ASSEMBLÉIAS DE MICROFÓSSEIS
<b>A.</b>		
<b>EO-MESOALBIANO (CRE, CLU)</b>		
NERÍTICO RASO / NERÍTICO MÉDIO		<ul style="list-style-type: none"> <li><i>Favusella</i> spp. e <i>Hedbergella</i> spp.</li> <li><i>Ammobaculites</i> sp., <i>Anomalina</i> sp., <i>Astacolus</i> sp., <i>Gavelinella ex gr. intermedia</i>, <i>Globorotalites</i> sp., <i>Gyroidinoides</i> spp., <i>Haplophragmoides</i> sp. e <i>Lenticulina</i> spp.</li> <li>Óstracodes, micromoluscos e espinhos de equinóides</li> </ul>
<b>B.</b>		
<b>NEOALBIANO (CRE, CLU)</b>		
NERÍTICO RASO / MÉDIO		<ul style="list-style-type: none"> <li><i>Favusella</i> spp., <i>Globigerinelloides</i> spp., <i>Hedbergella</i> spp. e <i>Heterohelix</i> sp.</li> <li>Microgastrópodes e micropelecípodes</li> </ul>
<b>C.</b>		
<b>EO-MESOALBIANO (CRE, CLU, FLH)</b>		
NERÍTICO RASO / MÉDIO		<ul style="list-style-type: none"> <li><i>Globigerinelloides</i> spp., <i>Hedbergella</i> spp. e <i>Heterohelix</i> sp.</li> </ul>

### O ALBIANO EM OUTRAS ÁREAS DO ATLÂNTICO SUL

Os dados disponíveis a respeito das condições paleobatimétricas em outras áreas do Atlântico Sul derivam, principalmente, das pesquisas do *Deep Sea Drilling Project* (DSDP).

Em 1973, Sclater & McKenzie propuseram uma primeira reconstrução paleobatimétrica para o Atlântico Sul. Esses dois autores, com base em estudos envolvendo resfriamento de crosta e formação de bacias, propuseram que, entre a quebra inicial dos continentes sul-americano e africano e 75 Ma, as quatro grandes bacias então formadas tinham profundidades abaixo de 4.000 m. Van Andel *et al.* (1977), ao estimarem a profundidade da zona de compensação da calcita (CCD) para o Aptiano-Albiano da área meridional do Atlântico Sul, sugerem uma paleobatimetria em torno de 3.000 m. Por outro lado, os estudos geotectônicos feitos por Melguen *et al.* (1978) levaram os autores a considerar, porém com alta carga de dúvida, que na fase aptiano-albiana as bacias do Atlântico Sul apresentassem profundidades

acima de 3.000 m. Ainda em 1978, Melguen apresentou uma curva paleobatimétrica para os sites 363 e 364, onde os depósitos albianos são apresentados como tendo sido depositados em águas neríticas.

Em termos paleobiológicos e paleoecológicos, os dados sugerem águas rasas para a fase albiana. Wiedmann & Neugebauer (1978), ao estudarem a forma de amonóides do Site 364, assinalam que esses fósseis estão relacionados a ambiente nerítico interno ou epicontinental. Scheibnerová (1981), ao fazer uma síntese comparativa dos foraminíferos bentônicos albo-cenomanianos encontrados nas Legs 26, 36 e 40, considera que, neste tempo, o Atlântico Sul se apresentava com profundidades médias em torno de 100 m, não excedendo, em locais mais profundos, a 300-400 m.

**CONCLUSÕES** As análises paleoecológicas feitas no Centro de Pesquisas da Petrobrás, com base em foraminíferos e a partir de centenas de poços perfurados na margem atlântica brasileira, evidenciam que a sedimentação albiana neste segmento do Atlântico Sul ocorreu sob condições paleobatimétricas relativamente uniformes. Os valores paleobatimétricos estiveram dominantemente vinculados a ecossistemas neríticos, tendo-se diferenciado duas fases:

- a. Eo-mesoalbiana** – As condições do meio não foram mais profundas que 50 m.
- b. Neoalbiana** – A paleobatimetria da margem continental do Brasil esteve em torno de 100 a 200 m. No momento geo-histórico do Neoalbiano Terminal (Vraconiano), podem ter ocorrido algumas áreas um pouco mais profundas com 200 a 300 m.

A mudança paleobatimétrica verificada entre as duas fases é considerada resultante de um abrupto incremento da lâmina de água nerítica ou derivada da falta de registro sedimentar, não detectado a nível de resolução biocronoestratigráfica.

A comparação dos dados paleoecológicos obtidos para a faixa atlântica brasileira com aqueles obtidos em outras áreas do Atlântico Sul resulta na concepção, aqui apresentada, de que o referido oceano era, no Albiano, um mar epicontinental estreito e com relativa estabilidade tectônica *sensu strictu*. A espessa sedimentação dominantemente carbonática deste tempo deve ter ocorrido pelo jogo sedimentação/subsidiária, em cuja dinâmica a movimentação halocinética teve participação destacada.

**Agradecimentos** À Diretoria Executiva da Petrobrás, pela permissão para a apresentação e publicação; e a todos os colegas que, de uma ou de outra forma, contribuíram para a realização deste trabalho, os agradecimentos dos autores.

### REFERÊNCIAS BIBLIOGRÁFICAS

- AZEVEDO, R.L.M. – 1985 – Estudo paleoecológico da Bacia do Espírito Santo, Brasil, com base em foraminíferos. In: Brasil, MME, DNPM, *Col. Trab. Paleont.*, Brasília, p. 261-271. (Geol. 27. Paleont. e Estrat. 2).
- AZEVEDO, R.L.M.; GOMIDE, J.; VIVIERS, M.C. – 1987 – Geo-história da Bacia de Campos, Brasil: do Albiano ao Maastrichtiano. *Rev. Bras. Geoc.*, 17(2): 139-146.
- BEURLEN, G. – 1982 – Bioestratigrafia e geo-história da seção marinha da margem continental brasileira. *Bol. Téc. Petrobrás*, 25(2): 77-83.
- DIAS-BRITO, D. – 1982 – Evolução paleoecológica da Bacia de Campos durante a deposição dos calcilutitos, margas e folheios da Formação Macaé (Albiano e Cenomaniano?). *Bol. Téc. Petrobrás*, 25(2): 84-97.
- DIAS-BRITO, D. – 1985a – Calcisphaerulidae do Albiano da Bacia de Campos, Rio de Janeiro, Brasil: investigações taxonômicas, biocronoestratigráficas e paleoambientais. In: Brasil, MME, DNPM, *Col. Trab. Paleont.*, Brasília, p. 295-305. (Geol. 27. Paleont. e Estrat. 2).
- DIAS-BRITO, D. – 1985b – Calcisphaerulidae e microfósseis associados da Formação Ponta do Mel, Bacia Potiguar, Brasil: considerações paleoecológicas e biocronoestratigráficas. In: Brasil, MME, DNPM, *Col. Trab. Paleont.*, Brasília, p. 307-314. (Geol. 27. Paleont. e Estrat. 2).

- DIAS-BRITO, D. - 1987 - A Bacia de Campos no Mesocretáceo: uma contribuição à paleoceanografia do Atlântico Sul primitivo. *Rev. Bras. Geoc.*, 17(2): 162-167.
- DOUGLAS, R.G. & RANKIN, C. - 1969 - Cretaceous planktonic foraminifera from Bornholm and their zoogeographic significance. *Lethaia*, 2: 185-217.
- DOUGLAS, R.G. & SAVIN, S.M. - 1978 - Oxygen isotopic evidence for the depth stratification of Tertiary and Cretaceous planktic foraminifera. *Marine Micropaleontology*, 3: 175-196.
- ESTRELLA, G.O.; ROCHA MELLO, M.; GAGLIANONE, P.C.; AZEVEDO, R.L.M.; TSUBONE, K.; ROSSETTI, E.; CONCHA, J.; BRÜNING, I.M.R.A. - 1984 - The Espírito Santo Basin (Brazil) source rock characterization and petroleum habitat. In: DEMAISON, G. & MURRIS, R.J. (eds.) *Petroleum Geochemistry and Basin Evaluation*. Tulsa, AAPG. (Memoir 35).
- FRERICHS, W.E. - 1971 - Planktonic foraminifera in sediments of the Andaman sea. *J. Foram. Research*, 1: 1-14.
- FRERICHS, W.E. - 1975 - Planktonic foraminifera from the chalky members of the Niobrara formation Centennial valley, Wyoming. *J. Foram. Research*, 5(4): 294-312.
- HART, M.B. - 1980 - A water depth model for the evolution of the planktonic Foraminiferida. *Nature*, 286: 252-254.
- HART, M.B. & BAILEY, H.M. - 1979 - The distribution of planktonic Foraminiferida in the mid-Cretaceous of N.W. Europe. Aspekte der Kreide Europas. *IUGS., Ser. A*, 6: 527-542.
- KOUTSOUKOS, E.A.M. - 1982 - Geo-história e paleoecologia das bacias marginais de Florianópolis e Santos. In: CONGR. BRAS. GEOL., 32, Salvador, 1982. *Anais...* Salvador, SBG. v. 5, p. 2369-2382.
- KOUTSOUKOS, E.A.M. - 1984 - Evolução paleoecológica do Albiano ao Maastrichtiano na área noroeste da Bacia de Campos, Brasil, com base em foraminíferos. In: CONGR. BRAS. GEOL. 33, Rio de Janeiro, 1984. *Anais...* Rio de Janeiro, SBG. v. 2, p. 685-698.
- KOUTSOUKOS, E.A.M. - 1987 - A área noroeste da Bacia de Campos, Brasil, do Mesocretáceo ao Neocretáceo: Evolução paleoambiental e paleogeográfica pelo estudo de foraminíferos. *Rev. Bras. Geol.*, 17(2): 168-172.
- MELGUEN, M. - 1978 - Facies evolution, carbonate dissolution cycles in sediments from the Eastern South Atlantic (DSDP Leg 40) since the Early Cretaceous. In: BOLLI, H.M. et al. *Initial Reports of the Deep Sea Drilling Project*. Washington, U.S. Government Printing Office, 40: 981-1024.
- MELGUEN, M.; LE PICHON, S.; SINGUET, J.C. - 1978 - Paléoenvironnement de l'Atlantique Sud. *Bull. Soc. Geol. Fr.*, 4: 471-489.
- PETTERS, S.W. - 1978 - Mid-Cretaceous paleoenvironments and biostratigraphy of the Benue Through, Nigeria. *Geological Society of America Bulletin*, 89: 151-154.
- SCHEIBNEROVÁ, V. - 1981 - Paleogeographical implications of Cretaceous benthic foraminifera recovered by the Deep Sea Drilling Project in the Western South Atlantic. *Cretaceous Research*, 2(1): 1-18.
- SCLATER, J.G. & MCKENZIE, D.P. - 1973 - Paleobathymetry of the South Atlantic. *Geol. Soc. America Bull.*, 84(10): 3202-3216.
- SLITER, W.V. - 1972a - Cretaceous foraminiferal depth habitats and their origin. *Nature*, 239: 514-515.
- SLITER, W.V. - 1972b - Upper cretaceous planktonic foraminiferal zoogeography and ecology-eastern pacific margin. *Paleogeogr., Paleoclimatol., Paleoecol.*, 12: 15-31.
- VAN ANDEL, T.H.; THIEDE, J.; SCLATER, J.G.; HAY, W.W. - 1977 - Depositional history and paleoceanography of the South Atlantic Ocean during the last 125 million years. *J. Geol.*, 85: 651-698.
- VIVIERS, M.C. - 1982 - Biocronoestratigrafia da Bacia do Ceará. In: CONGR. BRAS. GEOL., 32, Salvador, 1982. *Anais...* Salvador, SBG. v. 5, p. 2433-2449.
- VIVIERS, M.C. - 1985 - Características bioestratigráficas dos sedimentos albo/cenomanianos da Bacia do Ceará. Relações com outras bacias brasileiras e africanas. In: Brasil, MME, DNPM, Col. Trab. Paleont. Brasília, p. 529-538. (Geol. 27. Paleont. e Estrat. 2).
- VIVIERS, M.C. & REGALI, M.S.P. - 1987 - Estudo paleoambiental preliminar no Cretáceo da Bacia Potiguar. *Rev. Bras. Geoc.*, 17(2): 122-130.
- VIVIERS, M.C. - 1987 - Foraminíferos planctônicos do Cretáceo Médio, Bacia de Santos, Brasil. *Rev. Bras. Geoc.*, 17(2): 154-161.
- WIEDMANN, J. & NEUGEBAUER, J. - 1978 - Lower Cretaceous Ammonites from the South Atlantic Leg 40 (DSDP), their stratigraphic value and sedimentological properties. In: *Init. Repts. DSDP*. Washington, U.S. Government Printing Office, 40(suppl.): 709-734.

MANUSCRITO 389

Recebido em 01 de setembro de 1986

Revisão aceita em 09 de abril de 1987

A idéia de excelência é intrínseca, como objetivo de qualquer atividade realizada com seriedade e, ainda mais, quando se trata de atividade intelectual.